

常時微動観測結果を用いた 最大水平速度分布簡易予測手法の種々の検証

小川安雄¹・清水謙司¹・前島大吾²・江尻譲嗣²

1 大阪ガス株式会社 技術部土木建築技術チーム (〒541-0046 大阪市中央区平野町4-1-2)

2 株式会社大林組技術研究所 土木第五研究室 (〒204-0011 東京都清瀬市下清戸4-640)

著者らは、常時微動観測結果から得られる揺れ易さの指標Vi値および、サイト間のVi値比を用いた、強震時における地表面の最大水平速度の簡易評価手法を提案している。評価手法の精度は、「サイト間のVi値比とVampの比の相関関係」に依存する為、以下に述べる種々の検証を行った。工学的基盤以浅の最大水平速度の増幅特性(Vamp)を①表層地盤の平均S波速度から簡易的に求める手法②兵庫県南部地震や北海道東方沖の観測された最大水平速度から求める手法③神戸市域、京都市域、釧路市域における1次元重複反射解析から求める手法等から算定した。その結果、サイト間のVi値比がVampの比と調和的であり、そのバラツキが±5~20%の範囲内である事を確認した。またVampの評価精度を上げれば、両者の相関は増す事から、Vi値は揺れ易さの指標として妥当である事がわかった。

Key Words : Local site amplification factor, Peak horizontal ground velocity, Vi value, Microtremor

1. はじめに

地震動は表層地盤特性の影響を強く受けることから、面的な地震動強度や被害の分布を推定する場合には、表層地盤増幅特性のマイクロゾーニングが重要となる。また強震時の埋設管等の被害推定の際はSI値と相関の高い地表面の最大水平速度が良い指標となる。我々は、サイト毎の表層地盤増幅特性を考慮した地表面最大水平速度(以下PGVs)の簡易評価手法を提案している¹⁾。概要を図1の評価フローに従って述べると、①震源断層を想定し、改良したJoyner&Booreの距離減衰式(以下改良JB式)により工学的解放基盤の最大水平速度(以下PGVb)を推定②PGVsとPGVbの比を最大水平速度増幅特性(以下Vamp)と定義③リファレンスサイトのVamp_rは、地震観測記録や地盤情報用いて設定④リファレンスサイト以外を任意のサイトと呼び、リファレンスサイトおよび任意のサイトにおいて常時微動観測を行い微動H/Vを求める⑤微動H/Vの0.1~5.0秒までの積分値をVi値と定義⑥リファレンスサイトに対する任意のサイトのVi値比を求める⑦Vi値比とVamp比が等しくなると仮定すれば、任意のサイトにおけるVamp_xが求まる⑧PGVbは任意のサイトでも改良JB式から求まるので、Vamp_xを乗じて任意のサイトにおけるPGVsを評価 というものである。本手法で重要なのは、「サイト間のVi値比とVamp比が等しくなる」という仮定であり、京阪神地区における1995年兵庫県南部地震の観測記録を用いた検証²⁾や京都盆地における推定地盤モデルの重複反

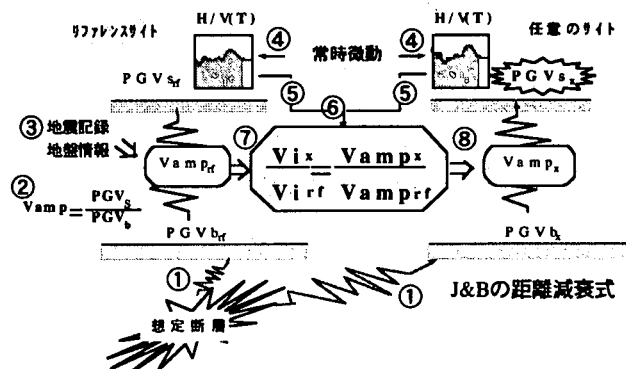


図1 最大水平速度簡易評価フロー

射解析を用いた検証³⁾釧路市域での高密度強震動観測記録を用いた検証⁴⁾を個々に行ってきた。本論文では、それらを検証手法ごとに整理し直し、比較した。

2. 検証手法概要

以下に述べるいずれの手法も、「サイト間のVi値比とVamp比が等しくなる」事の検証に主眼が置かれているのは同じであるが、根拠となる情報の差違に基づいて、3つの手法からVampを評価した。詳細は次章以下に譲るが、3手法の概念を図2に示し、概要に触れる。**手法1：**表層30mの平均S波速度と解放基盤のS波速度の比の-0.6乗から簡易的に求まるVamp⁵⁾を用いた検証 **手法2：**地表面最大水平速度PGVsは地震観測波形から、解放基盤の最大水平速度PGVbは距離減衰式(改良JB式)から評価し、両者の比から求めたVampを用いた検証 **手法3：**PGVsは地震観

測波形から求め、地盤構造モデルを用いて1次元重複反射解析からPGVbを評価し、両者の比から求めたVampを用いた検証

以上の各手法で得られたVampと常時微動観測から得られるVi値をサイト間比とし比較検討する。実務では、強震記録や地盤情報があるサイトをリファレンスサイトとして設定し、リファレンスサイトと任意のサイトの比を比較するが、検証ではリファレンスサイトの取り方による偏差をなくす為、平均的な(Vi値,Vamp)をとるサイトをリファレンスサイトとした。両者の相関関係は、Vi値比-Vamp比の傾きと1対1の直線の成す角を正規分布に従うバラツキの指標とした時の±1σの範囲および相関係数から評価した。

3. 表層地盤の平均S波速度から簡易的に求めたVampを用いた検証

図3は京阪神地区において1995年兵庫県南部地震の強震記録が観測されたサイトであり、ほぼ全サイトにおいて、表層地盤のPS検層もしくはボーリング柱状図が整理されている。前章で述べた手法1に基づいて各サイトのVampを評価した。N値しか情報がない場合は、N値-S波速度の相関式から推定した。深度30m以浅にN値50以上の支持層がある為、それ以深の情報がないサイトは、Vs=350m/sの層が深度30mまであると仮定し、表層30mの平均S波速度を求めた。解放基盤のS波速度は500m/sと想定した。同サイトにおいて常時微動観測を実施しVi値を求め、Vampとサイト間比を比較し図4に示した。その際、京阪神地区全域では、簡易評価手法の対象スケール(数Kmスクエア)より大きいので、共通の基盤構造を持つと思われる地区ブロック(東大阪ブロック、西大阪ブロック、神戸ブロック、京都ブロック)毎に整理し

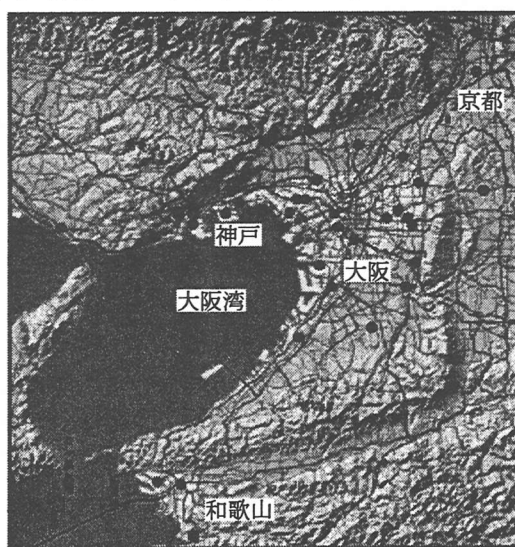


図3 兵庫県南部地震強震記録観測サイト

た。その結果、±1σが15%程度内であり、相関係数は0.48である事を示した。

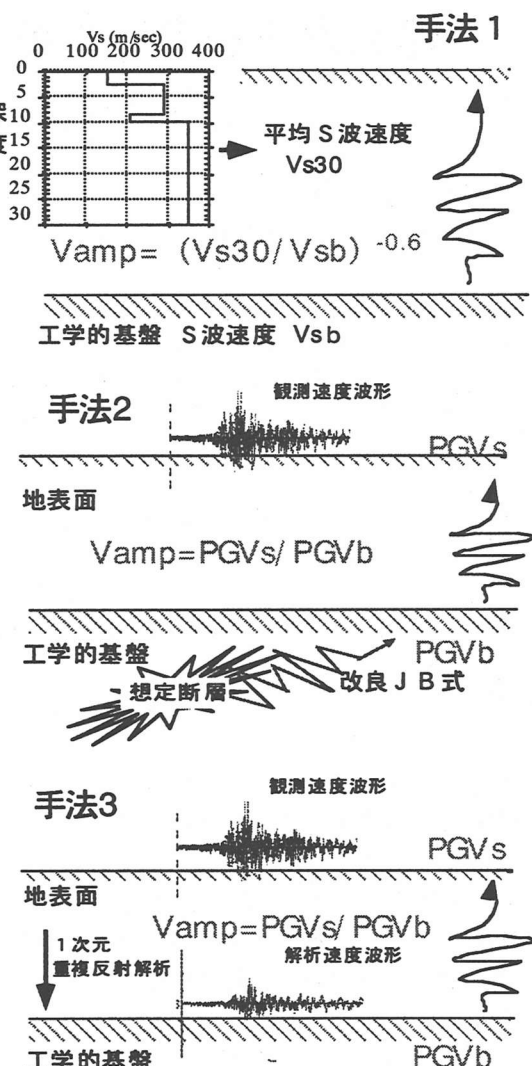


図2 Vampの評価手法 概念図

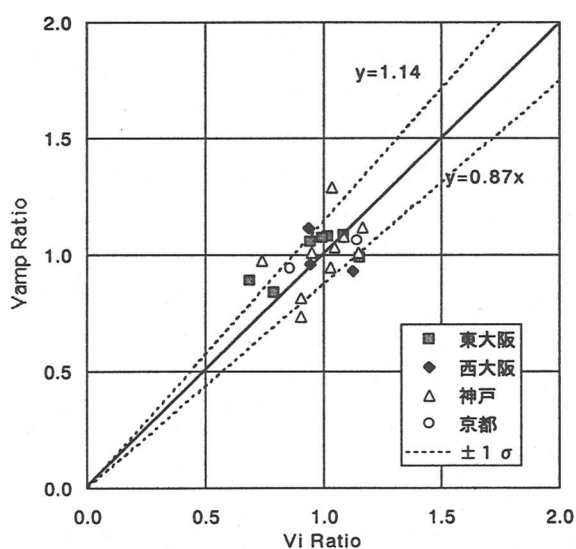
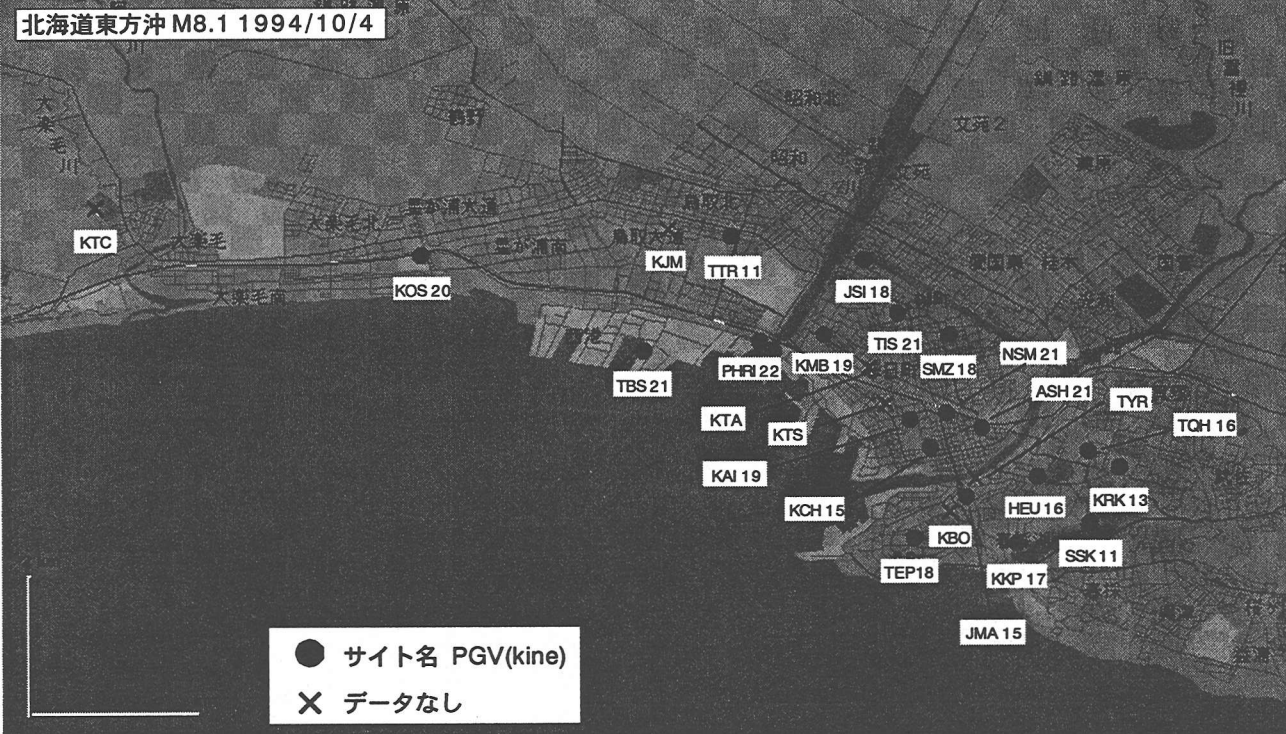


図4 検証手法1：Vi値比とVamp比の関係



4. 強震記録と距離減衰式から求めた Vamp を用いた検証

手法 2 に従い、前章図 3 のサイトにおいて得られた 1995 年兵庫県南部地震の強震記録から PGVs を評価し、改良 JB 式から推定した PGVb との比から Vamp を求め、前章図 4 と同様にサイト間の Vi 値比と Vamp 比を比較した結果を図 6 に示した。

1993 年釧路沖地震では明確なサイトエフェクトが見られ、これを解明する目的で釧路市域において 1 年半の間、高密度強震観測が実施された。⁶⁾その期間中に、1994 年北海道東方沖地震（マグニチュード 8.1）の高密度強震記録が観測された。PGVs の分布を図 5 に示す。この地震では市域東部の台地での大きな加速度記録が注目されたが、図 5 からも分かるように、速度に着目すると低地の方が良く揺れた事がわかる。これらを用いて手法 2 に従い、各サイトの Vamp を求めた。同サイトにおいて常時微動観測を実施し Vi 値およびサイト間の Vi 値比を求め、Vamp 比と比較し図 6 に追加した。また数点であるが、1993 年釧路沖地震から求めた Vamp を用いた検証結果も図 6 に付け加えた。Vamp の根拠となる強震記録による PGVs は、地盤増幅特性以外にセンサーの性能、設置状況や不整形地盤効果や強非線形効果等の不確定な要素も多く含まれ、PGVb は改良 JB 式から推定した平均的な値であり、Vamp の評価精度は必ずしも高くないと推測されるが、Vi 値比と Vamp 比の関係のバラツキは、 $\pm 1\sigma$ が 20% 程度であり、相関係数は 0.49 である事を示した。

図 5 1994 年北海道東方沖 釧路市域 PGVs 分布

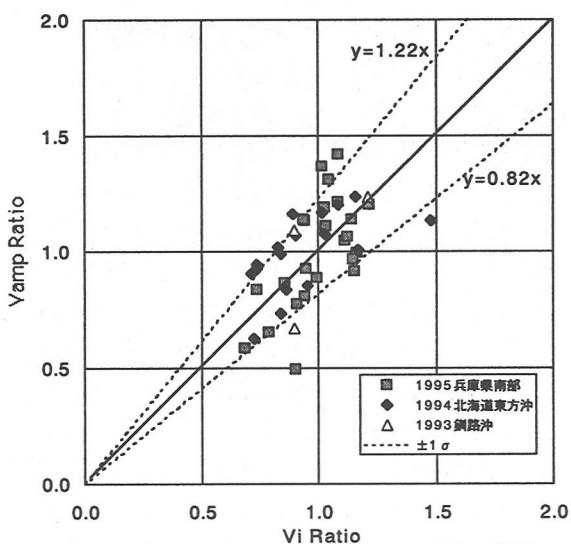


図 6 検証手法 2 : Vi 値比と Vamp 比の関係

5. 一次元重複反射解析から求めた Vamp を用いた検証

1) 神戸市域および釧路市域の同定地盤構造モデルを用いた場合

神戸市域の反射法探査、微動アレイ探査、PS 検層等により地盤構造モデルが精度よく同定されているサイトにおいて、手法 3 に従い、1995 年兵庫県南部地震の地表面観測波を地盤構造モデルに入射し、Vamp を求めた。同様に、1994 年北海道東方沖地震観測波を釧路市域の各サイトの地盤構造モデルに入射し Vamp を求めた。サイト間の Vi 値比と Vamp 比を比較した

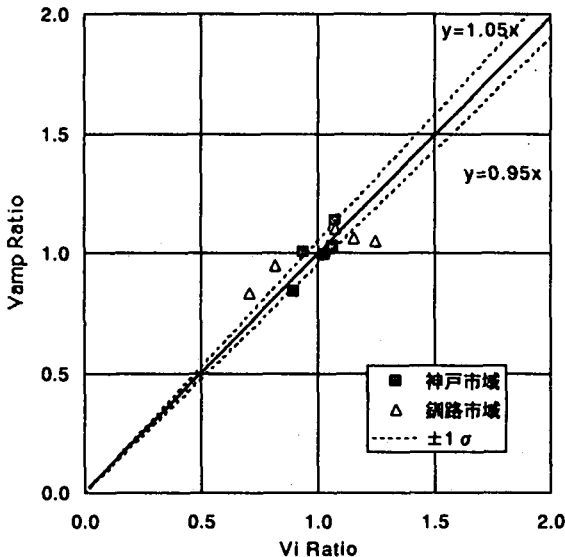


図7 検証手法3: Vi値比とVamp比の関係
(地盤構造モデルが精度よく同定されている場合)

結果を図7に示した。地盤構造モデルを精度よく求め、Vampの評価精度を上げた場合、 $\pm 1\sigma$ が5%程度内であり相関係数は0.79である事を示した。

2) 京都市域の推定地盤構造モデルを用いた場合

京都盆地中央部の京都リサーチパーク(以下京都RP)から伏見までの約50サイトの地盤構造モデルを推定し、手法3と同義な検証をした。地盤構造モデルの推定手法およびVamp評価法を図8に示す。京都RPは反射法探査、微動アレイ探査により精度よくやや深いところまで地盤構造モデルが同定されている。また京都盆地では重力探査が行われて基盤深度分布が求められており、S波速度1040m/sの層が対応していると思われる。層構成は不变として、基盤深度に合わせて層厚を比例配分し各サイトの深層モデルとした。浅層モデルは柱状図より評価し深層モデルに追加した。京都RPにおいて解析から得られた基盤波を距離補正して、各サイトの推定地盤構造モデルの基盤に入射した。重複反射解析により地表面波を求め、PGVsとPGVbの比からVampを求めた。同サイトにおいて常時微動観測を実施しVi値を求め、Vampとサイト間比を比較し図9に示した。地盤構造モデルをおおまかに推定した場合でも、 $\pm 1\sigma$ が20%程度内であり、相関係数は0.50である事を示した。

6.まとめ

提案している最大水平速度簡易予測手法を、「サイト間のVi値比とVamp比の相関関係」に着目して、種々の方法で検証した。Vampを精度よく求めれば、両者の相関が増す事から、常時微動から得られるVi値は、揺れ易さの指標として妥当である事、いずれ

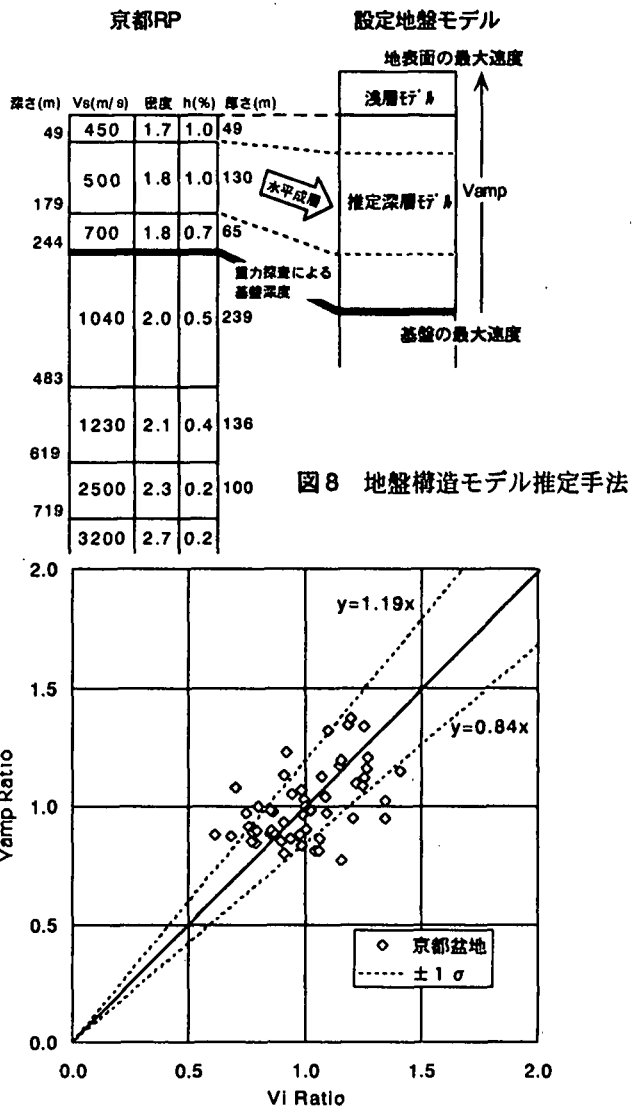


図8 地盤構造モデル推定手法

図9 検証手法3: Vi値比とVamp比の関係
(推定地盤構造モデルを用いた場合)

の手法においても、両者に相関関係が認められ、そのバラツキは5~20%以内である事が分かった。

参考文献

- 1) 小川, 清水, 土岐, 江尻, 前島: 常時微動観測結果を用いた最大速度増幅特性の検討(京都市域の場合), 第2回都市直下地震災害総合シンポジウム論文,b-22,pp.243-246,1997
- 2) 小川, 清水, 江尻, 前島: 常時微動観測結果から評価した地盤増幅特性の検証, 第10回日本地震工学シンポジウム, Vol1, c4-19, pp.959-964, 1998
- 3) 小川, 清水, 江尻, 前島: 常時微動を用いた最大速度増幅特性評価手法の重複反射解析による検討, 第3回都市直下地震災害総合シンポジウム論文集, a-25, pp.139-145, 1998
- 4) 小川, 清水, 江尻, 前島: 常時微動を用いた最大水平速度増幅特性評価手法の鉄路市域強震記録を用いた検証, 第54回土木学会年次学術講演会概要集, 投稿中
- 5) 翠川: 地震断層と地盤条件を考慮した地表面最大加速度・最大速度分布の推定, 日本建築学会第8回地盤震動シンポジウム, pp.59-64, 1980
- 6) ESG研究委員会: 鉄路市における共同強震動観測 1994北海道東方沖地震,(財)震災予防協会, 1995